

# 物理有机化学

朱正华 陈孔常 编

上海华东化工学院

一九八一年四月

# 目 录

第一章 共价键的本质.....	( 1 )
第一节 原子轨道.....	( 1 )
1—1 Schrödinger 方程.....	( 1 )
2—2 氢原子中电子的运动状态.....	( 4 )
第二节 共价键的价键法理论.....	( 16 )
2—1 氢分子的 Heitler-London 理论.....	( 16 )
2—2 原子轨道的杂化.....	( 24 )
第三节 共价键的分子轨道理论.....	( 33 )
3—1 氢分子离子的 Hund-Mulliken 理论.....	( 33 )
3—2 氢分子的 Hund-Mulliken 理论.....	( 36 )
3—3 分子轨道理论与价键法理论的初步比较.....	( 41 )
3—4 分子轨道中的成键原则.....	( 47 )
第二章 有机分子的结构理论.....	( 51 )
第一节 有机分子的分子轨道理论.....	( 51 )
1—1 Hückel 分子轨道理论.....	( 51 )
1—2 微扰与分子轨道理论.....	( 69 )
1—3 HMO 对分子性质的描述方法.....	( 81 )
第二节 有机分子的价键法理论.....	( 87 )
2—1 Heitler-London 价键法理论的 Slater-Pauling 推广.....	( 87 )
2—2 价键法理论在有机化学中的应用.....	( 103 )
2—3 价键法理论对分子性质的描述方法.....	( 105 )
第三节 络合物理论.....	( 109 )
3—1 络合物的价键法理论.....	( 110 )
3—2 晶体场理论.....	( 113 )
3—3 络合物的分子轨道理论.....	( 119 )
3—4 反配位键与络合催化.....	( 122 )
第四节 芳香性.....	( 125 )
4—1 芳香性与 $\pi$ 电子闭壳层能级.....	( 125 )
4—2 芳香性与 Hückel $4n + 2$ 规则.....	( 129 )

<b>第三章 反应动力学及反应机理</b> .....	( 133 )
第一节 反应动力学基础.....	( 133 )
1—1 反应动力学的数学基础.....	( 133 )
1—2 碰撞理论与过渡状态理论.....	( 135 )
1—3 溶液中的化学反应.....	( 141 )
第二节 线性自由能关系.....	( 153 )
2—1 Hammett 方程式.....	( 153 )
2—2 Taft 方程式.....	( 159 )
第三节 亲电子芳香族取代反应.....	( 161 )
3—1 亲电子芳香族取代反应机理.....	( 161 )
3—2 活泼性关系的定量处理.....	( 169 )
3—3 分子轨道计算的应用.....	( 173 )
第四节 重氮盐及偶合反应.....	( 179 )
4—1 重氮—偶合反应动力学.....	( 179 )
4—2 重氮—偶合反应的活化中间物.....	( 182 )
4—3 重氮—偶合反应中的盐效应.....	( 185 )
4—4 重氮盐亲电子活泼性的定量处理.....	( 185 )
第五节 亲核芳香族取代反应.....	( 186 )
5—1 亲核芳香族取代反应动力学.....	( 186 )
5—2 亲核芳香族取代反应机理.....	( 188 )
5—3 Meisenheimer 复合物.....	( 192 )
第六节 饱和碳原子上的亲核取代反应.....	( 194 )
6—1 亲核取代反应机理.....	( 194 )
6—2 亲核取代反应的反应活泼性.....	( 203 )
6—3 亲核性的定量计算.....	( 211 )
第七节 周环反应.....	( 216 )
7—1 引论.....	( 216 )
7—2 电环合反应.....	( 217 )
7—3 环加成反应.....	( 228 )
7—4 $\sigma$ 键迁移反应.....	( 238 )
<b>第四章 有机物发色理论</b> .....	( 245 )
第一节 发色的分子轨道理论.....	( 245 )
1—1 发色的 HMO 及 PMO 理论.....	( 252 )
1—2 偶氮染料发色的分子轨道理论.....	( 254 )
1—3 菁染料发色的分子轨道理论.....	( 258 )
1—4 蒽醌还原染料发色的分子轨道理论.....	( 264 )

1—5	Pariser-Parr-Pople 自洽场分子轨道理论	( 267 )
第二节	发色的价键法理论	( 271 )
2—1	发色的 V. B. 理论	( 271 )
2—2	偶氮染料发色的价键法理论	( 273 )
2—3	菁染料发色的价键法理论	( 279 )
2—4	阳离子染料发色的价键法理论	( 286 )
2—5	蒽醌染料发色的价键法理论	( 290 )
2—6	吡啶苯胺及氮甲川染料发色的价键法理论	( 296 )
附 录	Hückel 法计算程序	( 309 )

# 第一章 共价键的本质

## 第一节 原子轨道

### 1-1 Schrödinger 方程

Schrödinger 方程是研究微观粒子（分子、原子、原子核，基本粒子等）的运动方程。它是客观存在的，不是从其他理论引证推导而得的。随着量子力学的发展，人们对物质的微观结构的认识日益深入。目前量子力学已是化学中的基础理论之一，在化学键本质，有机分子结构，有机反应理论等方面得到广泛的应用。

#### 1. Schrödinger 方程的来源

##### (1) 从 de Broglie 关系式建立

光具有波粒二象性。1924 年 de Broglie 提出微观粒子也具有波粒二象性，一个微观粒子常和一个物质波联系。物质波和最简单的波运动，例驻波 (standing wave) 相似。de Broglie 假说的正确性，在 1927 年已为 Davisson 及 Germer 所作的电子衍射实验所证实。

设  $\omega$  为某一点  $(x, t)$  的振幅， $u$  为波速，则

$$\frac{\partial^2 \omega(x, t)}{\partial x^2} = \frac{1}{u^2} \frac{\partial^2 \omega(x, t)}{\partial t^2} \quad (1)$$

上式称为驻波方程。

若令

$$\omega(x, t) = f(x) g(t)$$

并已知

$$g(t) = A \sin 2 \pi \nu t$$

式中： $A$ ——最大振幅，

$\nu$ ——驻波的振动频率。

则

$$\omega(x, t) = A \sin 2 \pi \nu t f(x)$$

代入 (1)

$$\frac{\partial^2 \omega}{\partial x^2} = A \sin 2 \pi \nu t \frac{\partial^2 f}{\partial x^2} = g(t) \frac{\partial^2 f}{\partial x^2}$$

$$\frac{\partial^2 \omega}{\partial x^2} = -f(x) 4 \pi^2 \nu^2 A \sin 2 \pi \nu t = -4 \pi^2 \nu^2 f(x) g(t)$$

故得

$$\frac{\partial^2 f}{\partial x^2} = -\frac{4 \pi^2 \nu^2}{u^2} f \quad (2)$$

已知

$$u = \lambda \nu$$

代入 (2) 式

$$\frac{\partial^2 f(x)}{\partial x^2} = -\frac{4 \pi^2}{\lambda^2} f(x) \quad (3)$$

若该驻波在空间传递，则振幅  $f(x)$  应改为  $\varphi(x, y, z)$ ，同时 (3) 式变为：

$$\frac{\partial^2 \varphi(x, y, z)}{\partial x^2} + \frac{\partial^2 \varphi(x, y, z)}{\partial y^2} + \frac{\partial^2 \varphi(x, y, z)}{\partial z^2} = -\frac{4 \pi^2}{\lambda^2} \varphi(x, y, z)$$

或 
$$\frac{\partial^2 \varphi}{\partial x^2} + \frac{\partial^2 \varphi}{\partial y^2} + \frac{\partial^2 \varphi}{\partial z^2} = -\frac{4\pi^2}{\lambda^2} \varphi \quad (4)$$

de Broglie 将实物的波动性和粒子性联系起来，预言实物粒子的物质波波长  $\lambda$  为：

$$\lambda = \frac{h}{p}$$

式中： $p$  ——物质的动量，

$h$  ——Planck 常数。

上式常称为 de Broglie 关系式。

若令  $V(x, y, z)$  为物质粒子的势能， $T$  为粒子动能， $E$  为粒子总能量。

则

$$E = T + V$$

或

$$T = E - V = \frac{1}{2}mv^2$$

因

$$p = mv$$

故

$$E - V = \frac{p^2}{2m}, \quad \frac{1}{\lambda^2} = \frac{p^2}{h^2} = \frac{2m(E - V)}{h^2}$$

代入(4)式

$$\frac{\partial^2 \varphi}{\partial x^2} + \frac{\partial^2 \varphi}{\partial y^2} + \frac{\partial^2 \varphi}{\partial z^2} + \frac{8\pi^2 m(E - V)}{h^2} \varphi = 0 \quad (5)$$

令

$$\frac{\partial^2}{\partial x^2} + \frac{\partial^2}{\partial y^2} + \frac{\partial^2}{\partial z^2} = \text{Laplace 算符} = \nabla^2$$

(5)式变为：

$$\nabla^2 \varphi + \frac{8\pi^2 m}{h^2} (E - V) \varphi = 0 \quad (6)$$

上式即为微观粒子运动方程，也称 Schrödinger 方程。

(2) 用算符导出

根据经典力学，一个相互作用的粒子系，能量  $E$  是动能贡献  $T$  及势能函数之和。描述粒子波动性的独特方法是将经典动能  $T$  和势能函数  $V$  代之以线性算符  $\mathbf{T}$ ， $\mathbf{V}$ ，同时建立如下的波动方程：

$$\{\mathbf{T} + \mathbf{V}\} \varphi = E \varphi \quad (7)$$

上式的解波函数  $\varphi$ ，应描述运动在势能算符所确定的力场中全部粒子的空间运动。

在经典力学中，每个可以观测的物理量，例如位置，动能，能量等，均可用一个线性算符表征。例

经典物理量	算 符	
位置 $q$	$q$	
动量 $p$	$\frac{h}{2\pi i} \frac{\partial}{\partial q}$	$p_x = \frac{h}{2\pi i} \frac{\partial}{\partial x}$
	$i = \sqrt{-1}$	$p_y = \frac{h}{2\pi i} \frac{\partial}{\partial y}$
		$p_z = \frac{h}{2\pi i} \frac{\partial}{\partial z}$

故能量  $E$  可以写为:

$$E = T + V = \frac{p^2}{2m} + V = -\frac{\hbar^2}{8\pi^2 m} \left( \frac{\partial^2}{\partial x^2} + \frac{\partial^2}{\partial y^2} + \frac{\partial^2}{\partial z^2} \right) + V$$

$$= \frac{-\hbar^2}{8\pi^2 m} \nabla^2 + V$$

代入 (7) 式

$$\left\{ -\frac{\hbar^2}{8\pi^2 m} \nabla^2 + V \right\} \varphi = E \varphi$$

即

$$\nabla^2 \varphi + \frac{8\pi^2 m}{\hbar^2} (E - V) \varphi = 0 \quad (8)$$

能量的算符常用哈密顿 (Hamiltonian) 算符  $H$  代表:

$$H = -\frac{\hbar^2}{8\pi^2 m} \nabla^2 + V$$

故 (7) 式可写为:

$$H \varphi = E \varphi$$

从上式可知, 哈密顿算符作用于波函数上等于其能量乘上该波函数。

上式描述微观粒子运动的稳定状态, 即微观粒子在空间出现不随时间而改变的状态, 上式  $\varphi$  即为稳定状态的波函数。

应用 **Schrödinger** 方程来研究微观粒子运动时, 根据具体情况, 写出方程式中势能函数, 然后求解方程, 就可求得具体的波函数  $\varphi$ , 与能量的可能值  $E$ 。

## 2. 本征值与本征函数 (Eigenvalue and Eigen function)

从驻波方程:

$$\frac{\partial^2 f(x)}{\partial x^2} = -\frac{4\pi^2}{\lambda^2} f(x)$$

可知振幅只有当波长  $\lambda$  具有某些定值时才有意义, 这些具有定值的波长  $\lambda$  称为本征值。当  $\lambda$  为某本征值时,  $f(x)$  称为驻波方程的本征函数, 简称波函数 (Wave function)。

从驻波方程, 可知  $f(x)$  必须为单值的, 有限的, 在弦固定的二端  $f(x)$  为零。

同样从波动方程  $H \varphi = E \varphi$  可知,  $\varphi$  只有当  $E$  具有某定值 (本征值) 时才有意义。此时  $\varphi$  称为本征函数或波函数。  $\varphi$  必须为单值的、有限的与连续的, 当体系处于能量算符本征函数所描写的状态时, 体系的能量有确定的数值, 这个数值就是与这个本征函数相应的能量算符的本征值。

从光的电磁学说  $f^2(x)$  应和光的强度成正比, 应和在  $x$  处光子存在的几率成正比。同样在量子力学中,  $\varphi^2$  应和在  $(x, y, z)$  点找到某一粒子系统的几率成正比。所谓某一粒子系, 即其  $E, p$  为精确知道的系统。从测不准原理可知, 同时测定该系统的位置及能量是不可能的。若能量已知, 则只能测定该系统在此位置的几率。故  $\varphi^2 d\tau$  或  $\varphi \varphi^* d\tau$  等于在  $d\tau$  处该粒子系统存在的几率。这就是 **Born** 对波函数的统计解释。

因为粒子存在于空间中, 粒子在整个空间出现的凡率等于 1, 所以:

$$\int_{-\infty}^{\infty} \varphi^2 d\tau = 1$$

或

$$\int_{-\infty}^{\infty} \varphi \varphi^* d\tau = 1$$

凡能满足上式的称为归一化的 (normalized)。若  $\varphi_i$  及  $\varphi_j$  为波动方程的解，并为归一化的，并且

$$\int \varphi_i \varphi_j d\tau = 0$$

则  $\varphi_i$  及  $\varphi_j$  称为相互正交的 (mutual orthogonal)。归一化，相互正交的波函数具有一特殊的性质，即能扩展为同一变数的其他正交函数系列。

若  $\varphi_1, \dots, \varphi_i$  为相互正交的波函数，为某一波动方程的解，即  $\varphi_1, \dots, \varphi_i$  是某体系的可能状态，则它们的线性迭加

$$\varphi = c_1 \varphi_1 + c_2 \varphi_2 + \dots + c_i \varphi_i$$

仍为某一波动方程的解，也是这个体系的一个可能状态，这就是量子力学中的状态迭加原理，式中  $c_1, \dots, c_i$  为系数。当粒子处在状态  $\varphi_1$  和状态  $\varphi_2$  的线性迭加态  $\varphi$  时，则粒子既处在态  $\varphi_1$ ，又处在态  $\varphi_2$ 。

因

$$\begin{aligned} \varphi &= c_1 \varphi_1 + c_2 \varphi_2 + \dots + c_i \varphi_i \\ \varphi^* &= c_1^* \varphi_1^* + c_2^* \varphi_2^* + \dots + c_i^* \varphi_i^* \end{aligned}$$

故

$$\begin{aligned} \int \varphi \varphi^* d\tau &= \int (c_1 \varphi_1 + c_2 \varphi_2 + \dots + c_i \varphi_i) (c_1^* \varphi_1^* + c_2^* \varphi_2^* + \dots + c_i^* \varphi_i^*) d\tau \\ &= c_1 c_1^* \int \varphi_1 \varphi_1^* d\tau + c_2 c_2^* \int \varphi_2 \varphi_2^* d\tau + \dots + c_i c_i^* \int \varphi_i \varphi_i^* d\tau \\ &\quad + c_1 c_2^* \int \varphi_1 \varphi_2^* d\tau + \dots + c_1 c_i^* \int \varphi_1 \varphi_i^* d\tau \end{aligned}$$

但

$$\begin{aligned} \int \varphi_1 \varphi_1^* d\tau &= 1, \quad \int \varphi_2 \varphi_2^* d\tau = 1, \quad \dots \int \varphi_i \varphi_i^* d\tau = 1 \\ \int \varphi_1 \varphi_2^* d\tau &= 0 \quad \dots \int \varphi_1 \varphi_i^* d\tau = 0 \end{aligned}$$

故

$$\int \varphi \varphi^* d\tau = c_1 c_1^* + c_2 c_2^* + \dots + c_i c_i^* = 1$$

即

$$\sum_{i=1}^n c_i c_i^* = 1$$

## 1-2 氢原子中电子的运动状态

氢原子中电子的各种运动状态，简称为氢原子的态，也即为氢原子中电子的各种定态波函数。这些波函数就是氢原子 Schrödinger 方程的各种解。

### 1. Schrödinger 方程的解

以氢原子的核为原点，核外电子和核的距离为  $r$ ，则氢原子的 Schrödinger 方程为：

$$\frac{\partial^2 \varphi}{\partial x^2} + \frac{\partial^2 \varphi}{\partial y^2} + \frac{\partial^2 \varphi}{\partial z^2} + \frac{8\pi^2 \mu}{h^2} \left( E - \frac{e^2}{r} \right) \varphi = 0$$

式中  $\mu$  = 折合质量。

改变成球极坐标，

$$x = r \sin \theta \cos \phi, \quad y = r \sin \theta \sin \phi, \quad z = r \cos \theta$$

可以证明

$$\nabla^2 = \frac{1}{r^2} \frac{\partial}{\partial r} \left( r^2 \frac{\partial}{\partial r} \right) + \frac{1}{r \sin \theta} \frac{\partial}{\partial \theta} \left( \sin \theta \frac{\partial}{\partial \theta} \right) + \frac{1}{r^2 \sin^2 \theta} \frac{\partial^2}{\partial \phi^2}$$

代入原式

$$\therefore \frac{h^2}{8\pi^2\mu} \left[ \frac{1}{r^2} \frac{\partial}{\partial r} \left( r^2 \frac{\partial \varphi}{\partial r} \right) + \frac{1}{r^2 \sin \theta} \frac{\partial}{\partial \theta} \left( \sin \theta \frac{\partial \varphi}{\partial \theta} \right) + \frac{1}{r^2 \sin^2 \theta} \frac{\partial^2 \varphi}{\partial \phi^2} \right] + \left( E - \frac{e^2}{r} \right) \varphi = 0$$

试令

$$\varphi = R(r) Y(\theta) Z(\phi) = RYZ$$

即  $\varphi$  可以表示为三个函数  $R(r)$ ,  $Y(\theta)$ ,  $Z(\phi)$  的乘积, 其中  $R(r)$  仅是  $r$  的函数,  $Y(\theta)$  仅是  $\theta$  的函数,  $Z(\phi)$  仅是  $\phi$  的函数, 代入上式可得:

$$\frac{h^2}{8\pi^2\mu r^2} \left[ YZ \frac{\partial}{\partial r} \left( r^2 \frac{\partial R}{\partial r} \right) + \frac{RZ}{\sin \theta} \frac{\partial}{\partial \theta} \left( \sin \theta \frac{\partial Y}{\partial \theta} \right) + \frac{RY}{\sin^2 \theta} \frac{\partial^2 Z}{\partial \phi^2} \right] + \left( E - \frac{e^2}{r} \right) RZY = 0$$

每项乘  $\frac{8\pi^2\mu r^2 \sin^2 \theta}{RYZ}$  可得:

$$\frac{\sin^2 \theta}{R} \frac{\partial}{\partial r} \left( r^2 \frac{\partial R}{\partial r} \right) + \frac{\sin \theta}{Y} \frac{\partial}{\partial \theta} \left( \sin \theta \frac{\partial Y}{\partial \theta} \right) + \frac{1}{Z} \frac{\partial^2 Z}{\partial \phi^2} + r^2 \sin^2 \theta \frac{8\pi^2\mu}{h^2} \{E - V(r)\} = 0$$

上式第三项仅为变量  $\phi$  的函数, 其他项为变量  $\theta$  及  $r$  的函数, 要使等式成立, 第三项必须为一常数。

$$\text{令} \quad \frac{1}{Z} \frac{\partial^2 Z}{\partial \phi^2} = -m^2 \quad \text{或} \quad \frac{1}{Z} \frac{\partial^2 Z}{\partial \phi^2} + m^2 = 0 \quad (1)$$

上式称  $Z$  方程式。

将 (1) 代入原式

$$\frac{\sin^2 \theta}{R} \frac{\partial}{\partial r} \left( r^2 \frac{\partial R}{\partial r} \right) + \frac{\sin \theta}{Y} \frac{\partial}{\partial \theta} \left( \sin \theta \frac{\partial Y}{\partial \theta} \right) - m^2 + r^2 \sin^2 \theta \frac{8\pi^2\mu}{h^2} \{E - V(r)\} = 0$$

$$\text{或} \quad \frac{1}{R} \frac{\partial}{\partial r} \left( r^2 \frac{\partial R}{\partial r} \right) + \frac{8\pi^2\mu r^2}{h^2} \{E - V(r)\} = \frac{m^2}{\sin^2 \theta} - \frac{1}{Y \sin \theta} \frac{\partial}{\partial \theta} \left( \sin \theta \frac{\partial Y}{\partial \theta} \right)$$

上式左方是变量  $r$  的函数, 右方是与  $r$  变量无关的变量  $\theta$  的函数, 要使等式成立, 两边必须等于同一常数, 令这常数为  $\beta$ 。

原式左方变成:

$$\frac{1}{R} \frac{\partial}{\partial r} \left( r^2 \frac{\partial R}{\partial r} \right) + \frac{8\pi^2\mu r^2}{h^2} \{E - V(r)\} = \beta$$

或 
$$\frac{1}{R} \frac{\partial}{\partial r} \left( r^2 \frac{\partial R}{\partial r} \right) - \beta + \frac{8\pi^2 \mu r^2}{h^2} \{E - V(r)\} = 0$$

乘以  $\frac{R}{r^2}$ , 可得

$$\frac{1}{r^2} \frac{\partial}{\partial r} \left( r^2 \frac{\partial R}{\partial r} \right) - \frac{\beta R}{r^2} + \frac{8\pi^2 \mu}{h^2} \{E - V(r)\} R = 0 \quad (2)$$

上式称为  $R$  方程式。

原式右方变成

$$\frac{m^2}{\sin^2 \theta} - \frac{1}{Y \sin \theta} \frac{\partial}{\partial \theta} \left( \sin \theta \frac{\partial Y}{\partial \theta} \right) = \beta$$

或 
$$\frac{1}{\sin \theta} \frac{\partial}{\partial \theta} \left( \sin \theta \frac{\partial Y}{\partial \theta} \right) + \left( \beta - \frac{m^2}{\sin^2 \theta} \right) Y = 0 \quad (3)$$

上式称  $Y$  方程式。

$Z$  方程的解

氢原子波动方程的  $Z$  方程部分为:

$$\frac{1}{Z} \frac{\partial^2 Z}{\partial \phi^2} + m^2 = 0$$

这是一个常系数线性方程, 它的解为:

$$Z_m(\phi) = \frac{1}{\sqrt{2\pi}} e^{im\phi}$$

式中  $i = \sqrt{-1}$  虚数

$$m = 0, \pm 1, \pm 2, \dots,$$

几个  $Z_m(\phi)$  为:

$$Z_0(\phi) = \frac{1}{\sqrt{2\pi}}$$

$$Z_1(\phi) = \frac{1}{\sqrt{2\pi}} e^{i\phi} = \frac{1}{\sqrt{\pi}} \cos \phi$$

$$Z_{-1}(\phi) = \frac{1}{\sqrt{2\pi}} e^{-i\phi} = \frac{1}{\sqrt{\pi}} \sin \phi$$

$Y$  方程的解:

氢原子波动方程的极角部分为:

$$\frac{1}{\sin \theta} \frac{\partial}{\partial \theta} \left( \sin \theta \frac{\partial Y}{\partial \theta} \right) + \left( \beta - \frac{m^2}{\sin^2 \theta} \right) Y = 0$$

其中  $\beta$  为待定常数。

令

$$x = \cos \theta$$

则

$$\sqrt{1-x^2} = \sin \theta$$

$$Y(\theta) = y(x)$$

$$\therefore \frac{dY}{d\theta} = \frac{dx}{d\theta} \cdot \frac{dY}{dx} = -\sin\theta \frac{dY}{dx}$$

于是 
$$\frac{d}{d\theta} = -\sin\theta \frac{d}{dx}$$

$$\sin\theta \frac{dY}{d\theta} = -\sin^2\theta \frac{dY}{dx} = -(1-x^2) \frac{dY}{dx}$$

代入原式

$$\frac{1}{\sin\theta} \cdot \sin\theta \frac{d}{dx} \left\{ (1-x^2) \frac{dY}{dx} \right\} + \left( \beta - \frac{m^2}{1-x^2} \right) Y = 0$$

化简 
$$\frac{d}{dx} \left\{ (1-x^2) \frac{dY}{dx} \right\} + \left( \beta - \frac{m^2}{1-x^2} \right) Y = 0$$

上式为 Legendre 微分方程。Legendre 方程的解为  $m$  阶  $l$  次连带 Legendre 函数  $P_l^m$ 。  
 $l$  值与待定系数  $\beta$  的关系为：

$$\beta = l(l+1)$$

$m$  阶  $l$  次连带 Legendre 函数通常可用下式表示为：

$$y(x) = P_l^m(x) = (1-x^2)^{\frac{|m|}{2}} \frac{d^{|m|}}{dx^{|m|}} P_l(x)$$

其中  $P_l(x)$  是  $x$  的一个  $l$  次多项式，称为 Legendre 多项式。 $m$  的绝对值不能超过  $l$ ，因此对于一定的  $l$  值， $m$  只限于取下列  $2l+1$  个值。

$$m = 0, \pm 1, \pm 2, \dots, \pm l$$

$l(l+1)$  值与电子在原子中运动的轨道角动量（量子化）密切相关， $m$  值则与原子的磁矩（取向量子化）密切相关； $l$  称为角量子数， $m$  称为磁量子数。

$m$  阶  $l$  次连带 Legendre 函数也可用下式表示：

$$P_l^m(\cos\theta) = \frac{1}{2^l l!} (1-\cos^2\theta)^{\frac{|m|}{2}} \frac{d^{|m|+l}}{d\cos\theta^{|m|+l}} (\cos^2\theta - 1)^l$$

几个  $m$  阶  $l$  次连带 Legendre 函数为：

$l=0$ ,  $s$  轨道；

$$Y_{0,0}(\theta) = \frac{\sqrt{2}}{2}$$

$l=1$ ,  $p$  轨道；

$$Y_{1,0}(\theta) = \frac{\sqrt{6}}{2} \cos\theta, \quad Y_{1,\pm 1}(\theta) = \frac{\sqrt{3}}{2} \sin\theta$$

$l=2$ ,  $d$  轨道；

$$Y_{2,0}(\theta) = \frac{\sqrt{10}}{4} (3\cos^2\theta - 1)$$

$$Y_{2,\pm 1}(\theta) = \frac{\sqrt{15}}{2} \sin\theta \cos\theta$$

$$Y_{2,\pm 2}(\theta) = \frac{\sqrt{15}}{4} \sin^2\theta$$

R 方程的解:

氢原子波动方程的径向部分为:

$$\frac{1}{r^2} \frac{\partial}{\partial r} \left( r^2 \frac{\partial R}{\partial r} \right) - \frac{\beta R}{r^2} + \frac{8\pi^2\mu}{h^2} \{E - V(r)\} R = 0$$

将  $\beta = l(l+1)$  代入上式, 则得:

$$\frac{1}{r^2} \frac{d}{dr} \left( r^2 \frac{dR}{dr} \right) + \left[ -\frac{l(l+1)}{r^2} + \frac{8\pi^2\mu}{h^2} \{E - V(r)\} \right] R = 0$$

上式展开后可得

$$\frac{d^2 R}{dr^2} + \frac{2}{r} \frac{dR}{dr} + \left[ -\frac{l(l+1)}{r^2} + \frac{8\pi^2\mu}{h^2} \{E - V(r)\} \right] R = 0$$

在氢原子及类氢离子中,

$$V(r) = -\frac{Ze^2}{r^2}$$

式中  $Z$  = 核所带正电荷。

代入原式可得

$$\frac{d^2 R}{dr^2} + \frac{2}{r} \frac{dR}{dr} + \left\{ \frac{8\pi^2\mu E}{h^2} + \frac{8\pi^2\mu Z e^2}{h^2 r^2} - \frac{l(l+1)}{r^2} \right\} R = 0$$

令

$$n^2 = -\frac{2\pi^2 Z^2 e^2}{h^2 E}$$

$$x = \frac{2Z}{na_0} r$$

式中  $a_0 = \frac{h^2}{4\pi^2\mu e^2}$  = Bohr 半径。

将  $n^2$  及  $x$  代入原式, 则  $R(r)$  变为  $X(x)$ 。原式变为

$$\frac{d^2 X}{dx^2} + \frac{2}{x} \frac{dX}{dx} + \left\{ -\frac{1}{4} + \frac{n}{x} + \frac{l(l+1)}{x^2} \right\} X = 0$$

当  $x$  接近无限大时, 上式变为渐近方程式:

$$\frac{d^2 X}{dx^2} - \frac{1}{4} X = 0$$

其解为:

$$X(x) = e^{+\frac{x}{2}} \quad \text{或} \quad e^{-\frac{x}{2}}$$

其满意解为:

$$X(x) = e^{-\frac{x}{2}}$$

故原方程式一个可能的解为:

$$X(x) = e^{-\frac{x}{2}} F(x)$$

经过各种考虑, 可以发现  $F(x)$  应由二部分组成:

$$F(x) = x^l G(x)$$

故

$$X(x) = e^{-\frac{x}{2}} x^l G(x)$$

将上式一次及二次求导后代入原式, 可得

$$x \frac{d^2 G}{dx^2} + \{(2l+1) + 1 - x\} \frac{dG}{dx} + (n-l-1)G = 0$$

上式的解和连带 Laguerre 多项式  $L_k^l(x)$  相同。

式中  $p = 2l + 1$ ,  $k = n + l$ 。

综合以上结果, 氢原子波函数的径向部分为:

$$R_{n,l}(r) = N_{n,l} e^{-\frac{r}{a_0}} x^l L_{n+l}^{2l+1}(x)$$

式中  $N_{n,l}$  为归一化因子, 使

$$\int_0^\infty [R_{n,l}(r)]^2 r^2 dr = 1$$

其值为:

$$N_{n,l} = - \left[ \left( \frac{2E}{na_0} \right)^3 \frac{(n-l-1)!}{2n((n+l)!)^3} \right]^{\frac{1}{2}}$$

连带 Laguerre 多项式  $L_{n+l}^{2l+1}(x)$  为

$$L_{n+l}^{2l+1}(x) = \frac{d^{2l+1}}{dx^{2l+1}} \left[ e^x \frac{d^{n+l}}{dx^{n+l}} (e^{-x} x^{n+l}) \right]$$

几个类氢原子径向波函数为:

$n = 1$ , K 壳层

$$l = 0, \text{ 即 } 1s; \quad R_{1,0}(r) = \left( \frac{Z}{a_0} \right)^{\frac{3}{2}} 2 e^{-\frac{r}{a_0}}$$

$n = 2$ , L 壳层

$$l = 0, \text{ 即 } 2s; \quad R_{2,0}(r) = \left( \frac{Z}{a_0} \right)^{\frac{3}{2}} \frac{1}{2\sqrt{2}} (2-x) e^{-\frac{r}{a_0}}$$

$$l = 1, \text{ 即 } 2p; \quad R_{2,1}(r) = \left( \frac{Z}{a_0} \right)^{\frac{3}{2}} \frac{1}{2\sqrt{6}} x \cdot e^{-\frac{r}{a_0}}$$

$n = 3$ , M 壳层

$$l = 0, \text{ 即 } 3s; \quad R_{3,0}(r) = \left( \frac{Z}{a_0} \right)^{\frac{3}{2}} \frac{1}{9\sqrt{3}} (6-6x+x^2) e^{-\frac{r}{a_0}}$$

$$l = 1, \text{ 即 } 3p; \quad R_{3,1}(r) = \left( \frac{Z}{a_0} \right)^{\frac{3}{2}} \frac{1}{9\sqrt{6}} (4-x) x e^{-\frac{r}{a_0}}$$

$$l = 2, \text{ 即 } 3d; \quad R_{3,2}(r) = \left( \frac{Z}{a_0} \right)^{\frac{3}{2}} \frac{1}{9\sqrt{30}} x^2 e^{-\frac{r}{a_0}}$$

2. 氢原子及类氢离子波函数的电子云图象

氢原子及类氢离子完全的波函数  $\psi_{n,l,m}$  为:

$$\psi_{n,l,m} = R_{n,l}(r) Y_{l,m}(\theta) Z_m(\phi)$$

上式中  $n$  为主量子数, 决定轨道的能量,  $l$  为角量子数,  $m$  为磁量子数。  $l$  值为 0, 1, 2, 3 等的轨道, 分别称为  $s$ 、 $p$ 、 $d$ 、 $f$  轨道。  $n$  为 1、 $l$  为 0 的轨道称为  $1s$  轨道;  $n$  为 3、 $l$  为 1 的称为  $3p$  轨道, 余类推。每一个  $p$  轨道中有三个不同的  $m$  值, 0,  $\pm 1$ 。

几个氢原子及类氢离子完全的波函数  $\varphi_{n,l,m}$  为:

$$\begin{aligned}\varphi_{1,0,0}(1s) &= \sqrt{\frac{Z^3}{\pi a_0^3}} e^{-\frac{Zr}{a_0}} \\ \varphi_{2,1,0}(2s) &= \frac{1}{4\sqrt{2}} \sqrt{\frac{Z^3}{\pi a_0^3}} \left(2 - \frac{Zr}{a_0}\right) e^{-\frac{Zr}{2a_0}} \cos\theta \\ \varphi_{2,1,0}(2p_z) &= \frac{1}{4\sqrt{2}} \sqrt{\frac{Z^3}{\pi a_0^3}} \frac{Zr}{a_0} e^{-\frac{Zr}{2a_0}} \cos\theta \\ \varphi_{2,1,0}(2p_x) &= \frac{1}{4\sqrt{2}} \sqrt{\frac{Z^3}{\pi a_0^3}} \frac{Zr}{a_0} e^{-\frac{Zr}{2a_0}} \sin\theta \cos\phi \\ \varphi_{2,1,0}(2p_y) &= \frac{1}{4\sqrt{2}} \sqrt{\frac{Z^3}{\pi a_0^3}} \frac{Zr}{a_0} e^{-\frac{Zr}{2a_0}} \sin\theta \sin\phi\end{aligned}$$

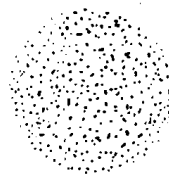
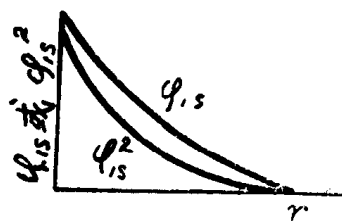
将波函数代入氢原子的波动方程式, 可得与  $\varphi_{n,l,m}$  相应的能量为:

$$E_n = - \frac{2\pi^2\mu e^4 Z^2}{n^2 h^2}$$

从上式可知, 对氢原子或类氢离子而言, 电子运动能量仅和主量子数  $n$  有关, 和角量子数及磁量子数无关。

氢原子的各波函数表示氢原子可能存在的各种状态。求得各波函数后, 也可用图示方法来表示波函数的各种性质。今以  $\varphi_{1,0,0}$  为例, 用各种图示方法来说明其物理意义。

(1)  $\varphi_{1,0,0}$  和  $\varphi_{1,0,0}^2$  随半径  $r$  的变化



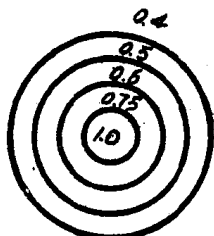
电子云

(2)  $\varphi_{1,0,0}^2$ :

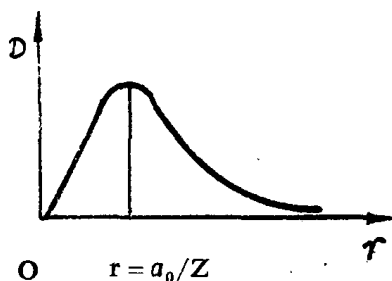
依波函数的几率解释,  $\varphi_{1,0,0}^2 d\tau$  代表  $1s$  电子在空间体积元  $d\tau$  内存在的几率。故  $\varphi_{1,0,0}^2$  即为几率密度, 可以用点子的疏密来表示空间各点的几率密度大小。 $\varphi_{1,0,0}^2$  大的地方, 几率密度大; $\varphi_{1,0,0}^2$  小的地方, 几率密度小。这图形也称为电子云。

(3) 等密度面

联接几率密度相等的各点所形成的曲面, 称等密度面。球面上所标明的数字, 表示各球面上几率密度的相对大小。



(4) 电子云界面——电子云在界面中占 90%，界面外几率密度很小，1s 状态的界面是一个球面。



(5) 径向分布函数，电子在半径  $r$  厚度  $dr$  的球壳内出现的几率  $dP$  为：

$$dP = 4\pi r^2 \varphi_1^2, d\tau$$

令

$$D = 4\pi r^2 \varphi_1^2,$$

故  $D$  表示径向分布函数，也即为电子在半径为  $r$  的球面上单位厚度球壳内的几率。以  $D$  与  $r$  作图，所得曲线包围的面积为 1：

$$\int_0^{\infty} D dr = \int_0^{\infty} 4\pi r^2 \varphi_1^2, d\tau = 1$$

曲线有一极大值，此时  $\frac{dD}{dr} = 0$ ，即

$$\begin{aligned} \frac{dD}{dr} &= \frac{d}{dr} (4\pi r^2 \varphi_1^2) = \frac{d}{dr} \left( 4\pi r^2 \sqrt{\frac{Z^3}{\pi a_0^3}} e^{-\frac{Zr}{a_0}} \right)^2 = 0 \\ 2r e^{-\frac{2Zr}{a_0}} - r^2 \left( \frac{2Z}{a_0} \right) e^{-\frac{2Zr}{a_0}} &= 0 \end{aligned}$$

即

$$r = \frac{a_0}{Z}$$

上面结果说明：当  $r = \frac{a_0}{Z}$  时，径向分布函数值最大。当  $Z=1$ ，即为氢原子时，也即

$r = a_0 = \text{Bohr}$  半径时，球面上发现电子的密度最大。

若电子处在 2s 状态，则电子在半径  $r$  厚度  $dr$  的球壳内出现的几率  $dP$  为：

$$dP = 4\pi r^2 \varphi_2^2, d\tau$$

同样 2s 电子的径向分布函数  $D$  为：

$$D = 4\pi r^2 \varphi_2^2,$$

因

$$\varphi_{2s} = \frac{1}{4\sqrt{2}} \sqrt{\frac{Z^3}{\pi a_0^3}} \left( 2 - \frac{Zr}{a_0} \right) e^{-\frac{Zr}{2a_0}}$$

代入  $D$ ，以  $D$  和  $r$  作图，可得 2s 电子云的径向分布图。

若电子处在 3s 状态，则电子在半径  $r$  厚度  $dr$  的球壳内出现的几率  $dP$  为：

$$dP = 4\pi r^2 \varphi_3^2, dr$$

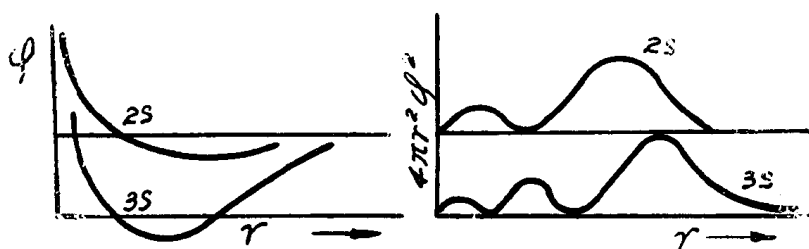
同样 3s 电子的径向分布函数  $D$  为:

$$D = 4\pi r^2 \varphi_{3s}^2$$

因

$$\varphi_{3s} = \frac{1}{18\sqrt{3}} \sqrt{\frac{Z^3}{\pi a_0^3}} \left( 6 - \frac{4Zr}{a_0} + \frac{4Z^2 r^2}{9a_0^2} \right) e^{-\frac{Zr}{3a_0}}$$

代入  $D$ , 以  $D$  和  $r$  作图, 可得 3s 电子云的径向分布图。



令  $\varphi_{2s} = 0$ , 则  $r = \frac{2a_0}{Z}$

即在  $r = \frac{2a_0}{Z}$  的球面上,  $\varphi_{2s}$  等于零。这样的曲面称为节面。

同样令  $\varphi_{3s} = 0$ , 则  $r = \frac{7.1a_0}{Z}$  及  $\frac{1.9a_0}{Z}$ 。

即在  $r = \frac{1.9a_0}{Z}$  及  $\frac{7.1a_0}{Z}$  的球面上,  $\varphi_{3s}$  等于零。这样的曲面也称为节面。

从上图可知, 在节面两边波函数的符号是相反的。一般言之,  $\varphi_n$  共有  $(n-1)$  个节面。节面数为  $s$  波函数的主量子数减 1。

### (6) 原子轨道的角度分布

氢原子及类氢离子各完全的球极波函数为:

$l$	$m$	符号	波函数 $Y_{l,m}(\theta, \phi) \cdot Z_m(\phi)$	对 $4\pi$ 归一化后
0	0	$s$	$\frac{1}{\sqrt{4\pi}}$	1
1	0	$p_z$	$\sqrt{\frac{3}{4\pi}} \cos \theta$	$\sqrt{3} \cos \theta$
1	-1	$p_y$	$\sqrt{\frac{3}{4\pi}} \sin \theta \sin \phi$	$\sqrt{3} \sin \theta \sin \phi$
1	+1	$p_x$	$\sqrt{\frac{3}{4\pi}} \sin \theta \cos \phi$	$\sqrt{3} \sin \theta \cos \phi$
2	0	$d_{z^2}$	$\sqrt{\frac{5}{16\pi}} (3 \cos^2 \theta - 1)$	
2	11	$d_{xz}$	$\sqrt{\frac{15}{16\pi}} \sin 2\theta \cos \phi$	

2	-1	$d_{yz}$	$\sqrt{\frac{15}{16\pi}} \sin 2\theta \sin \phi$
2	+2	$d_{x^2-y^2}$	$\sqrt{\frac{15}{16\pi}} \sin^2 \theta \cos^2 \phi$
2	-2	$d_{xy}$	$\sqrt{\frac{15}{16\pi}} \sin^2 \theta \sin^2 \phi$

自坐标原点出发，作方向为  $\theta, \phi$  的直线，取长度等于归一化的球极波函数值，并将这些直线的端点联接起来，在空间形成一个曲面，这样便得各原子轨道的角度分布。原子轨道的角度分布代表同一球面在不同方向上波函数的相对大小。由于氢原子及类氢离子的球极波函数仅和角量子数  $l$  及磁量子数  $m$  有关，和主量子数  $n$  无关，所以当量子数  $l, m$  相同时，它们的原子轨道角度分布也是相同的。

**s 轨道**

$$s = \frac{1}{\sqrt{4\pi}}$$

s 轨道角度分布与  $\theta, \phi$  无关，故为一球面半径为  $\frac{1}{\sqrt{4\pi}}$ 。

**p 轨道** 氢原子或类氢离子  $p_x$  球极波函数为：

$$p_x = \sqrt{\frac{3}{4\pi}} \cos \theta$$

由于  $p_x$  只和  $\theta$  有关，和  $\phi$  无关，所以可在  $x, z$  平面上作图。将各  $\theta$  值代入上式，所得各点围成曲面，即得  $p_x$  轨道的角度分布。

同样可得  $p_y, p_z$  轨道的角度分布。

**$d_{z^2}$  轨道**

氢原子或类氢离子  $d_{z^2}$  球极波函数为：

$$d_{z^2} = \sqrt{\frac{5}{16\pi}} (3 \cos^2 \theta - 1)$$

当  $d_{z^2}$  为零时，可求得节面，其值为：

$$\cos \theta = \pm \frac{\sqrt{3}}{3}, \quad \theta = 54^\circ 44', \quad 125^\circ 16'$$

再令  $\frac{d d_{z^2}}{d \theta} = 0$ ，可求得极大值为：

$$\begin{aligned} \frac{d d_{z^2}}{d \theta} &= \frac{d}{d \theta} \left[ \sqrt{\frac{5}{16\pi}} (3 \cos^2 \theta - 1) \right] \\ &= -6 \sqrt{\frac{5}{16\pi}} \cos \theta \sin \theta = 0 \end{aligned}$$

当  $\cos \theta = 0$  时， $\theta = 90^\circ$ ，即  $xy$  平面

$$d_{z^2} = \sqrt{\frac{5}{16\pi}}$$